

ОБНАРУЖЕНИЕ ОБРАТНЫХ БЕЗЫЗЛУЧАТЕЛЬНЫХ ПЕРЕХОДОВ ПРИ ВОЗБУЖДЕНИИ МНОГОАТОМНЫХ МОЛЕКУЛ ИК ЛАЗЕРНЫМ ИЗЛУЧЕНИЕМ

Р.В.Амбарцумян, Г.Н.Макаров, А.А.Пурецкий

Обнаружена бесстолкновительная передача колебательной энергии в электронную при многофотонном поглощении ИК лазерного излучения молекулой OsO_4 .

1. В настоящей работе впервые обнаружено *бесстолкновительное* возбуждение электронных состояний многоатомной молекулы путем раскачки ее колебаний в ИК лазерном поле [1]. Поскольку это явление обусловлено той же неадиабатической связью электронного и ядерного движений, которая вызывает хорошо известные в многоатомных молекулах безызлучательные переходы электронной энергии в колебательную [2], мы назвали обнаруженный процесс "обратным безызлучательным переходом".

Многофотонное поглощение многоатомных молекул в ИК лазерном поле позволяет возбуждать высоколежащие колебательные состояния этих молекул и производить диссоциацию [1]. Так как для высоколежащих колебательных состояний неадиабатическая связь электронного и ядерного движений становится существенной (нарушается приближение Борна – Опенгеймера), можно ожидать, что помимо диссоциации через основное электронное состояние при наличии подходящих возбужденных электронных термов должны возникать переходы колебательной энергии в электронную. Эти переходы приведут либо к диссоциации молекулы из электронно-возбужденного состояния, либо к излучению в УФ видимой области спектра. Такое излучение молекулы OsO_4 и обнаружено нами в настоящей работе при возбуждении ее колебаний излучением CO_2 -лазера.

2. В эксперименте сравнивались: 1) времена свечения, возникающие при возбуждении молекулы OsO_4 ИК (CO_2 -лазер) и УФ (N_2 -лазер) излучениями, и их зависимости от давления OsO_4 ; 2) спектральное распределение этого свечения. Возбуждение колебательных состояний молекулы OsO_4 производилось излучением перестраиваемого по частоте CO_2 -лазера с длительностью пика импульса генерации 90 нсек (по полувысоте), "хвост" которого составлял 1,5 мксек. Осуществлялись как одно-, так и двухчастотный [3] режимы возбуждения. Электронное состояние молекулы OsO_4 возбуждалось излучением азотного лазера с длительностью импульса генерации 15 нсек и энергией в импульсе 100 мкдж. Частота следования импульсов могла достигать 500 Гц, что позволяло производить измерения люминесценции в режиме счета фотонов. OsO_4 содержался в кювете из нержавеющей стали, которая предварительно откачивалась до давления $5 \cdot 10^{-5}$ тор. Измерение времен жизни свечения проводилось последовательно, сначала при УФ, затем при ИК облучении при одном и том же наполнении кюветы OsO_4 .

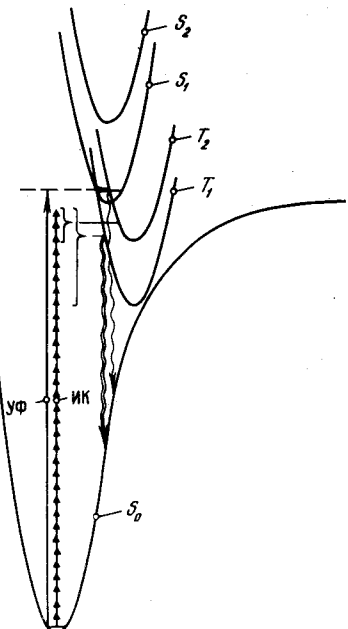


Рис. 1. Схема нижних электронных термов молекулы OsO_4 . Положение синглетов получено на основе анализа электронных спектров поглощения работы [4]. Примерное положение триплетов дано на основе, полученного в настоящей работе спектра фосфоресценции OsO_4 при возбуждении излучением N_2 -лазера. Стрелками указаны схемы изучаемых переходов

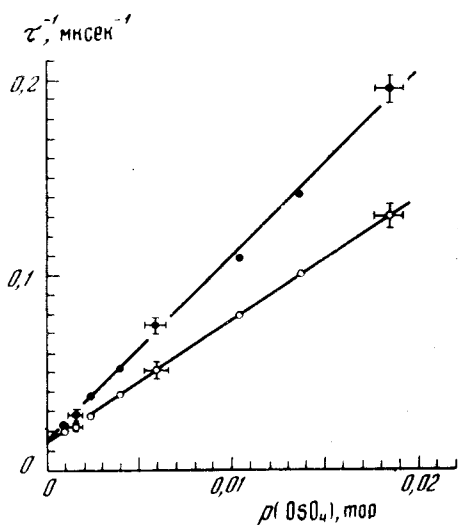


Рис. 2. Зависимость обратного времени жизни фосфоресценции от давления OsO_4 в кювете. Верхняя прямая получена при возбуждении излучением N_2 -лазера, нижняя — излучением CO_2 -лазера (линия генерации $P(40)$, $925,0 \text{ см}^{-1}$). Мономолекулярное время жизни $\tau_0 (\text{N}_2) = \tau_0 (\text{CO}_2) = 75 \pm 15 \text{ мксек}$. Обратные скорости тушения: $\tau_T (\text{N}_2) = 102 \pm 10 \text{ нсек} \cdot \text{тор}$, $\tau_T (\text{CO}_2) = 156 \pm 10 \text{ нсек} \cdot \text{тор}$

3. На рис. 1 приведены нижние электронные термы молекулы OsO_4 (синглетные и триплетные) и схема изучаемых переходов. Синглетные термы получены на основе анализа электронно-колебательной прогрессии спектров поглощения работы [4]. Примерное положение триплетных состояний дано исходя из анализа приведенного ниже спектра фосфоресценции OsO_4 при возбуждении излучением азотного лазера. Оценка времени жизни самого нижнего возбужденного синглетного состояния дает $\tau_{\text{люм}} \approx 36 \text{ нсек}$ (см. [4]). Приведенное на рис. 1 положение диссоциационного предела для основного электронного состояния по полносимметричной координате весьма условно и оценивалось по известной границе диссоциации $\text{OsO}_4 \sim 30$ квантов CO_2 -лазера. Стрелками

показаны схемы изучаемых переходов. Из рис. 1 видно, что электронные состояния молекулы OsO_4 существенно перемешаны.

На рис. 2. сравниваются Стерн – Вольмеровские зависимости обратных времен жизни свечения при ИК и УФ возбуждении:

$$\frac{1}{\tau} = \frac{1}{\tau_0} + \frac{P}{\tau_T}, \quad (1)$$

где τ — время свечения, τ_0 — мономолекулярное время жизни, τ_T^{-1} — скорость тушения. Из рис. 2 видно, что мономолекулярные времена жизни фосфоресценции совпадают, и что скорости тушения также очень близки. Небольшое различие в скоростях тушения обусловлено различным способом возбуждения триплетных состояний.

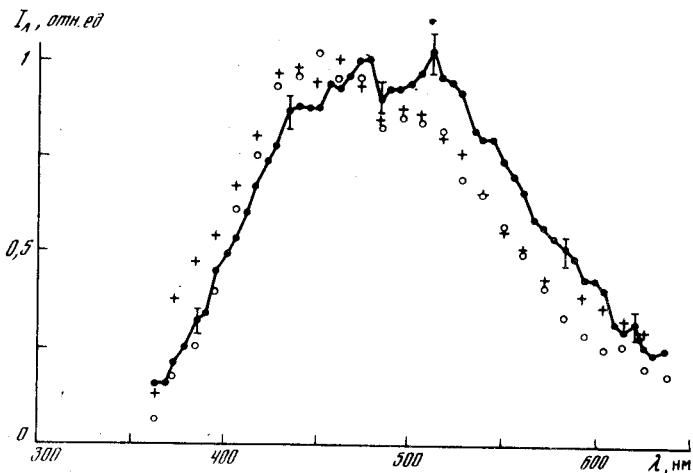


Рис. 3. Спектры фосфоресценции, полученные при возбуждении OsO_4 излучением: ● — азотного лазера; + — двухчастотное возбуждение излучением CO_2 -лазера ($\nu_1 = 947,7 \text{ см}^{-1}$, $P(16)$; $\nu_2 = 927,0 \text{ см}^{-1}$, $P(38)$); ○ — одночастотное возбуждение излучением CO_2 -лазера $\nu_1 = 947,7 \text{ см}^{-1}$, $P(16)$. Давление OsO_4 в кювете было $3 \cdot 10^{-2}$ тор. Спектральное разрешение составляло 40 \AA .

Поправка на спектральную чувствительность регистрирующей системы (МДР-2, ФЭУ-79) не производилась

На рис. 3 приведены спектры фосфоресценции OsO_4 , при ИК и УФ возбуждении, полученные при давлении OsO_4 в кювете $3 \cdot 10^{-2}$ тор. Видно, что эти спектры также хорошо совпадают и имеют характерную структуру: состоящую из двух максимумов 460 и 510 нм, связанных, по-видимому с наличием двух близколежащих возбужденных электронных состояний (см. рис. 1). Небольшое различие в интенсивностях этих максимумов обусловлено разным способом возбуждения триплетов.

Для окончательного доказательства принадлежности наблюдавшегося свечения молекуле OsO_4 были проведены эксперименты по диссоциации OsO_4 ИК и УФ излучениями при одинаковой интенсивности свечения. Если при ИК облучении такая диссоциация наблюдалась (см. также [5]), то при облучении УФ излучением N_2 -лазера нам не удалось наблюдать

диссоциации даже при числе импульсов облучения в 100 раз большем по сравнению с ИК облучением. Этот эксперимент исключает появление свечений из-за фосфоресценции радикалов, возникающих при мономолекулярном распаде OsO_4 .

Таким образом проведенные эксперименты однозначно указывают на существование обратного безызлучательного перехода при возбуждении молекулы OsO_4 в поле ИК лазера. Обнаруженное явление чрезвычайно важно, так как во-первых дает возможность систематического экспериментального излучения неадиабатичности (связи электронного и ядерного движений) при хорошо определенных начальных условиях ИК лазерного возбуждения. Во-вторых, это явление безусловно является весьма общим при возбуждении молекул ИК лазерным излучением и, именно, такие переходы приводят к появлению электронно-возбужденных фрагментов при диссоциации молекул. Поэтому исследование этого процесса представляет большой интерес и для изучения самой ИК диссоциации. Наконец, представляет интерес исследование чисто практической стороны обратного безызлучательного перехода: для создания инверсии и получения генерации в УФ и видимой области спектра при ИК возбуждении, а также для визуализации ИК излучения.

Авторы выражают благодарность В.Д.Титову за предоставление системы для счета фотонов.

Институт спектроскопии
Академии наук СССР

Поступила в редакцию
2 ноября 1978 г.

Литература

- [1] R.V.Ambartzumian, V.S.Letokhov. In 'Chemical and Biochemical Applications of Lasers', v. 3, ed. by C.B.Moore, Academic Press, New-York, 1977.
- [2] Radiationless Processes in Molecules and Condensed Phases, ed. by F.K.Fong, Springer – Verlag, Berlin Heidelberg New-York, 1976.
- [3] R.V.Ambartzumian, V.S.Letokhov, G.N.Makarov, A.A.Puretzky. Opt. Comm., 25, 69, 1978.
- [4] J.L.Roeber, R.N.Wiener. J. Chem. Phys., 60, 3166, 1974.
- [5] R.V.Ambartzumian, G.N.Makarov, A.A.Puretzky. In 'Laser Spectroscopy III', ed. by J.L.Hall and J.L.Carlsten, Springer – Verlag, 1977.